

تحليل ديناميكية الدورة الهوائية الخلفية المستقيمة المزروجة

كنهاية على جهاز العقلة للرجال

* أ.د. عادل عبد البصير علي

** د. رضا عبد الحميد عامر

*** د. إيهاب عادل عبد البصير علي

المقدمة : Introduction

خلال العشر سنوات الماضية سجل الجمناز الأولمبي تقدماً مذهلاً في متطلبات تركيب الجملل الحركية وتطوير فنيات الأداء والتاورات الحديثة في الجمناز . أدى هذا التقدم في المتطلبات الفنية للأداء إلى دفع لاعبي الجمناز إلى أداء المهارات ذات الصعوبات العالية للحصول على أعلى النقاط عند الاشتراك في مسابقات الجمناز على أجهزة الجمناز المختلفة ومن أهم متطلبات تركيب الجملة الحركية للاعب على جهاز العقلة هو إفاء الجملة الحركية بنهاية ذات صعوبة عالية .

وتعتبر الدورات الهوائية المتعددة بأشكالها المختلفة - المكورة ، والمنحنية ، والمستقيمة - كنهاية على جهاز العقلة من المهارات ذات الصعوبات المرتفعة والتي تؤدي إلى رفع قيمة الجملة الحركية ونقاط الحكام لها ، عندما تؤدي ببراعة وثبات . لذلك أهتم بعض الفنيين أو المدرسين بالكتابة عن الدورات الهوائية المنفردة كنهايات على جهاز العقلة إلا أن كتابتهم عنها كتبت منذ زمن طويل قبل حدوث التقدم الحديث في فنيات وأساليب أدائها مثل Gert, Phillip, Cheetham & Lonkon & Willuognby (١٩٧٧م) (٩) ، Yoshaki, Hiroshi & Mamoru (١٩٩٢) (١٢) . Diamantis (١٩٩٢) (٥) ،

* أ.د. عادل عبد البصير علي : أستاذ الميكانيكا الحيوية ورئيس قسم علوم الرياضية بكلية التربية الرياضية ، جامعة قناة السويس بورسعيد .

** د. رضا عبد الحميد عامر : مدرس بقسم التربية الرياضية بكلية التربية النوعية ، جامعة قناة السويس ، بورسعيد .

*** د. إيهاب عادل عبد البصير علي : مدرس بقسم علوم الرياضية بكلية التربية الرياضية ، جامعة قناة السويس ، بورسعيد .

وبالرغم من انتشار الدورة الهوائية الخلفية المستقيمة المزدوجة كنهاية على عارضة العقلة بين لاعبي مستوى القمة في العالم إلا أن الباحث لاحظ عدم انتشارها بين اللاعبين المصريين ، بالإضافة إلى أنه في حدود علم الباحثين وجد ندرة في الدراسات التي تناولت فنية أداء هذه المهارة بتعمق إلى جانب عدم إجراء أي دراسة عن هذه المهارة في جمهورية مصر العربية ، الأمر الذي يوضح مدى الحاجة إلى إجراء دراسة متعمقة لمهارة الدورة الهوائية الخلفية المستقيمة المزدوجة كنهاية على جهاز العقلة لأداء لاعبي الجمناز في مستوى القمة لتحديد العوامل الديناميكية لضمان نجاح أداء النهاية عن طريق دراسة الانطلاق ، وشكل الجسم أو التحكم في الجسم من أجل إتمام الدوران للخلف في الهواء ، والهبوط الراسخ للحصول على التصور الصحيح من أجل تحسين الأداء ، وربما يؤدي ذلك إلى تطوير إستراتيجيات المدربين وتوجيهات التدريب عن طريق توجيه التدريب وسلامته وتجنب الإصابات .

هدف البحث The research purpose

تهدف هذه الدراسة إلى التعرف على العوامل البيوديناميكية الحاسمة لنجاح أداء الانطلاق من عارضة العقلة ، والسيطرة على الجسم من أجل الدوران للخلف والجسم مستقيماً ، مرحلة الهبوط ، لدورة الهوائية الخلفية المستقيمة المزدوجة كنهاية على جهاز العقلة .

تعريف المصطلحات والرموز المستخدمة في البحث :

الرمز	المصطلح
CG.	مركز ثقل كتلة الجسم
^V CGX.R	سرعه مركز ثقل كتلة الجسم في اتجاه المركبة الأفقية لحظة الانطلاق
^V CGY.R	سرعه مركز ثقل كتلة الجسم في اتجاه المركبة الراسية لحظة الانطلاق
^H CG.R	ارتفاع مركز ثقل كتلة الجسم لحظة الانطلاق
^θ CG.R	زاوية مركز ثقل كتلة الجسم لحظة الانطلاق
^H TOT.R	كمية الحركة الزاوية الكلية لحظة الانطلاق
^H LEG.R	كمية الحركة الزاوية للرجلين لحظة الانطلاق

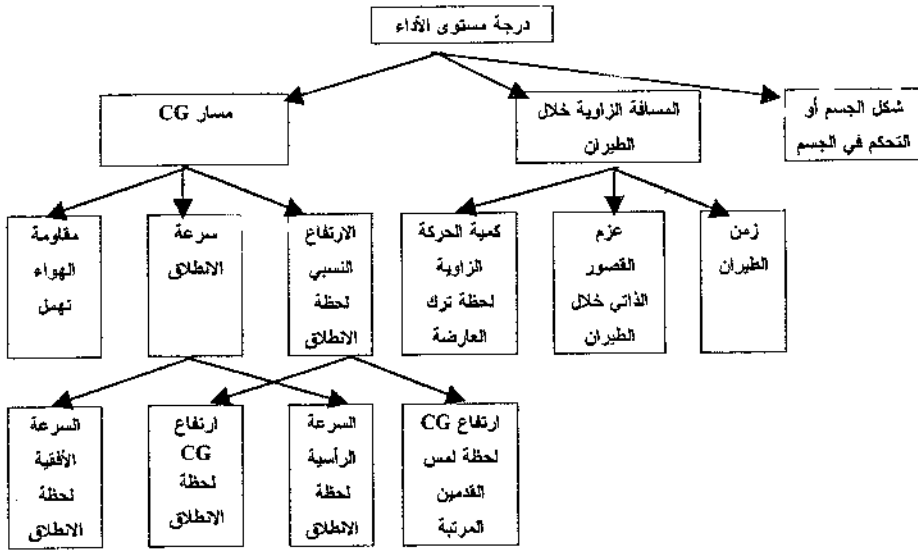
الرمز	المصطلح
^H TRU.R	كمية الحركة الزاوية للجدع والرأس لحظة الانطلاق
^H ARM.R	كمية الحركة للذراعين لحظة الانطلاق
^F L.T.	زمن الطيران
^H CG.2	أقصى ارتفاع لمركز ثقل كتلة الجسم خلال الطيران
Sh.AngL1	أقصى غلق الكتفين خلال الدورة الهوائية الخلفية المستقيمة الأولى
TH.AngL1	أقصى مد زائد للفخذين خلال الدورة الهوائية الخلفية المستقيمة الأولى
Kn.AngL1	أقصى مد للركبتين خلال الدورة الهوائية الخلفية المستقيمة الأولى
Sh.AngL2	غلق الكتفين خلال الدورة الهوائية الخلفية المستقيمة الثانية
TH.AngL2	أقصى مد زائد للفخذين خلال الدورة الهوائية الخلفية المستقيمة الثانية
Kn.AngL2	أقصى مد للركبتين خلال الدورة الهوائية الخلفية المستقيمة الثانية
Sh.AngL3	أقصى مد للكتفين في الربع الأخير من الدورة الهوائية الخلفية المستقيمة الثانية
TH.AngL3	أقصى مد للفخذين في الربع الأخير من الدورة الهوائية الخلفية المستقيمة الثانية
Kn.AngL3	أقصى مد للركبتين في الربع الأخير من الدورة الهوائية الخلفية المستقيمة الثانية
^H CG.TD	ارتفاع مركز ثقل كتلة الجسم لحظة لمس القدمين مرتبة الهبوط
Sh.AngL.TD4	أقصى انقباض للكتفين لحظة لمس القدمين مرتبة الهبوط
THh.AngL.TD4	أقصى مد للفخذين لحظة لمس القدمين مرتبة الهبوط
Kn.AngL.TD4	أقصى مد للركبتين لحظة لمس القدمين مرتبة الهبوط
^V CGTDX	سرعة مركز ثقل كتلة الجسم الأفقية لحظة لمس القدمين مرتبة الهبوط
^V CGTDY	سرعة مركز ثقل كتلة الجسم الرأسية لحظة لمس القدمين مرتبة الهبوط
^F CGTDX	القوة الأفقية المؤثرة على مركز ثقل كتلة الجسم لحظة لمس القدمين مرتبة الهبوط
^F CGTDY	القوة الرأسية المؤثرة على مركز ثقل كتلة الجسم لحظة لمس القدمين مرتبة الهبوط
^F CGX	سرعة مركز ثقل كتلة الجسم الأفقية في نهاية الهبوط
^F CGY	سرعة مركز ثقل كتلة الجسم الرأسية في نهاية الهبوط

الطرق Methods

النموذج Model

يجب على لاعب الجمباز لإنجاز مهارة الدورة الهوائية الخلفية المستقيمة المزدوجة كنهاية على جهاز العقلة تحقيق متطلبات الارتفاع ، وعرض التحكم في دوران الجسم من أجل الدوران للخلف والجسم مستقيم والهبوط . لذلك يجب وضع العوامل التالية في الاعتبار من أجل التحليل البيوديناميكي للمهارة قيد الدراسة:

- أ- إظهار الحركة الخطية بمتابعة مسار CG للاعب .
- ب- إظهار الحركة الزاوية حول المحور الأفقي .



شكل (١)

نموذج العوامل البيوديناميكية المحدد لمسار CG والمسافة الزاوية في الطيران المؤثرة في أداء الدورة الهوائية الخلفية المستقيمة المزدوجة كنهاية على جهاز العقلة

يعرض الشكل (١) أن مسار CG خلال الطيران حدد عن طريق مقاومة الهواء المضادة للطيران ، سرعة الانطلاق من عارضة العقلة ، والارتفاع النسبي لمركز ثقل كتلة اللاعب عند لحظة ترك العقلة بالنسبة لارتفاعه عند لمس مرتبة الهبوط ، السرعة عند لحظة الانطلاق في النهاية ربما اعتبرت كمجموع متجه السرعة الأفقية والسرعة الرأسية عند

الانطلاق . اعتمدت المسافة الزاوية التي من خلالها يدور الجسم حيثما وجد في الهواء على كمية الحركة الزاوية للاعب عند ترك عارضة العقلة ، عزم قصوره الذاتي المتوسط خلال الطيران ، زمن الطيران Hay & Ried (١٩٨٨م) (٧) .

يشمل شكل الجسم أو التحكم في جسم اللاعب عند أداء مهارة الدورة الهوائية الحلقية المستقيمة المزدوجة كنهاية على جهاز العقلة على اختلاف أوضاع أجزاء الجسم في الفضاء والطريقة التي يتم فيها تحريك هذه الأجزاء من وضع لآخر خلال الدوران للخلف ومرحلة الهبوط . ويتم تحكيم التمرينات الاختيارية وفق توجيهات وإرشادات القانون الدولي للجمباز والتي توجه الحكام نحو تنفيذ عقوبة خصم النقاط عند حدوث نقص في هرمونية الأجزاء المختلفة لتمرين ، ونقص في أقصى ارتفاع ومسافة أفقية خلال الطيران ، واستقامة الجسم خلال الدوران للخلف ، والتأخير أو غياب استمرار مد الجسم قبل الهبوط ، والوضع المنخفض للهبوط . وتمنح نقاط المحسنات في حالة (١) أقصى مدى (مثل أبعاد ارتفاع أو زاوية الجسم للدوران للخلف) ، (٢) الإبداع في الأداء الذي يظهر التأثير الديناميكي للوضع النهائي للمهارة والذي يتضح في الانتقال من المد الزائد للجسم خلال الدوران للخلف بسرعة وإتمام مد الجسم المناسب عند لحظة لمس مرتبة الهبوط FIG (٢٠٠١م) (٤) . من الواضح أيضاً أن (أ) معدل دوران الجسم للخلف ، (ب) انتقال المسافة ، (ج) الاستقرار في وضع الجسم من ترك عارضة العقلة للدوران للخلف ، ومن الدوران للخلف للهبوط تكون هامة في تحليل شكل الجسم ، أو التحكم في الجسم خلال النهاية . وفي هذه الدراسة القائمة حددت خصائص الأداء تلك تحديداً كميًا على التوالي ، عن طريق (أ) السرعة الزاوية المتوسطة لدوران الجسم ، (ب) المسافة الأفقية لانتقال CG ، (ج) التغير في وضع الجسم ، مقاساً عن طريق عزم القصور الذاتي من عارضة العقلة إلى الدوران للخلف ، ومن الدوران للخلف إلى الهبوط ، الارتفاع والقصور الذاتي عند وضع المد الزائد خلال الدوران للخلف ، (هـ) والارتفاع والقصور الذاتي لمركز ثقل كتلة الجسم وزاوية الميل عند لمس القدمين الأرض .

جمع البيانات Data collection

١- عينة البحث The research subject

شملت عينة الدراسة لاعبين من لاعبي الفريق القومي الذين يؤدون المهارة قيد البحث ، وتم اختيارهما بالطريقة العمدية لأنهما أفضل لاعبين يؤديان مهارة الدورة الهوائية الخلفية المستقيمة المزدوجة كنهاية على جهاز العقلة . أدى كل منهما المهارة قيد البحث ثلاث مرات وبذلك يصح حجم عينة البحث ٦ محاولات ، ويعرض الجدول (١) خصائص عينة البحث .

جدول (١)

خصائص عينة البحث

م	اسم اللاعب	رقم المحاولة	العمر الزمني (بالسنين)	الطول (بالمتر)	الوزن (بثقل كجم)	درجة مستوى الأداء
١	رؤوف عبد الكريم	١	٢٥	١,٦٨	٦٨	٩,٤
		٢	٢٥	١,٦٨	٦٨	٩,٦
		٣	٢٥	١,٦٨	٦٨	٩,٥
٢	كريم علي عبد الرحمن	٤	٢٣	١,٧٠	٧٠	٩,٨
		٥	٢٣	١,٧٠	٧٠	٩,٧
		٦	٢٣	١,٧٠	٧٠	٩,٨

بروتوكول التصوير : Filming protocol

استخدمت (٢) آلة تصوير فيديو ماركة Panasonic تردد كل منهما ٥٠ مجال/ثانية لتصوير كل من لاعبي الجمباز عينة الدراسة في أداء المهارة قيد البحث ، وروعي وضع آلة تصوير الفيديو الأولى على ارتفاع مستوى عارضة العقلة وعلى بعد ١٢ متر من الجانب الأيمن للعقلة ، وضعت آلة تصوير الفيديو الثانية على ارتفاع مستوى عارضة العقلة وعلى بعد ١٠ متر من الجانب الأيمن للعقلة . والمسافة بين الكاميرتين كانت (٤ أمتار) وزاوية ميل كل من الكاميرتين على الهدف (١٢٠) . كما روعي وضع صندوق المعايرة calibration box في مجال التصوير بحيث كان أداء المهارة داخل صندوق المعايرة .

وينوه الباحثون إلى أنه بالنسبة لإعداد اللاعب للتصوير وإعداد مجال التصوير ، وإعداد كاميراتي التصوير بالفيديو راعى الباحثون الخطوات التي ذكرها كل من عادل عبد البصير (٢٠٠٠م) (١) و Susan (١٩٩٩م) (١٠) ، وتم تنفيذ عملية التصوير في صالة تدريب الجمباز بناي القاهرة بالقاهرة الكبرى في يوم السبت الموافق ١٩/١٢/٢٠٠١م.

تقييم مستوى الأداء : The Performance standard evaluation

تم عرض أحد الفيلمين المصورين لكل من أداءات كل من اللاعبين قيد البحث ، على خمسة حكام دوليين معتمدين من الاتحاد المصري للجمباز ، قاموا بتقييم أداء كل من اللاعبين للمهارة قيد البحث وفق إرشادات وتعليمات القانون الدولي لتحكيم الجمباز حيث أعطى كل حكم من الحكام درجة ويتم شطب أعلى درجة وأقل درجة ويؤخذ متوسط الثلاث درجات الأخرى والناتج هو درجة أداء اللاعب للمهارة قيد البحث (٤) .

اختصار البيانات : Data reduction

تم تحليل ١٩٣ كادر تقريباً في كل محاولة أداء في كل من الفيلمين بمساعدة برنامج تحليل ويندو الآلي الفوري بمعمل الميكانيكا الحيوية بكلية التربية الرياضية ببورفؤاد - بورسعيد ، جامعة قناة السويس . اشتملت هذه الكادرات على أوضاع جسم اللاعب عند (أ) ترك عارضة العقلة، (ب) المد الزائد لجسم اللاعب ، (ج) أقصى ارتفاع CG خلال الطيران ، (د) الهبوط على مرتبة الهبوط .

اعتبر زمن الطيران هو الزمن الذي استغرق بين أول كادر ظهر فيه اللاعب في حالة كسر الاتصال مع عارضة العقلة والكادر الأول الذي يظهر فيه اللاعب متصلاً بمرتبة الهبوط .

كما اعتبر جسم اللاعب مكون من ١٤ وصلة صلبة وفق نموذج الأجزاء لجسم الإنسان الموضحة عن Clauser, McConville and Young (١٩٦٩م) (٢) واستخدم CG في كل كادر من الكادرات المسجلة. وحسبت كل من السرعة في اتجاه كلا المركبتين الأفقية (Vx) والرأسية (Vy) عند لحظة الانطلاق من عارضة العقلة بتطبيق المعادلة التالية :

$$V_x = \frac{x_2 - x_1}{t_2 - t_1} \quad (1)$$

$$V_y = \frac{y_2 - y_1}{t_2 - t_1} \quad (2)$$

وحسبت كمية الحركة الزاوية حول المحور الأفقي المار بمركز ثقل كتلة الجسم خلال الطيران باستخدام الطريقة الموضحة عن Hay, Wilson, Dapena, & Woodworth (١٩٧٧م) (٦) وبيانات عزم القصور الذاتي الجزئية عن Whitest (١٩٦٣م) (١٢) باستخدام المعادلة التالية :

$$\bar{H} = \Sigma (I_{T1} w_i + m_i r_i^2 w^*) \quad (3)$$

وحددت المسافة الزاوية التي من خلالها يدور لاعب الجمباز حول المحور الأفقي المار بمركز ثقل كتلة جسمه خلال الطيران باستخدام المعادلة التالية :

$$\theta = (\bar{H} / \bar{I}) t \quad (4)$$

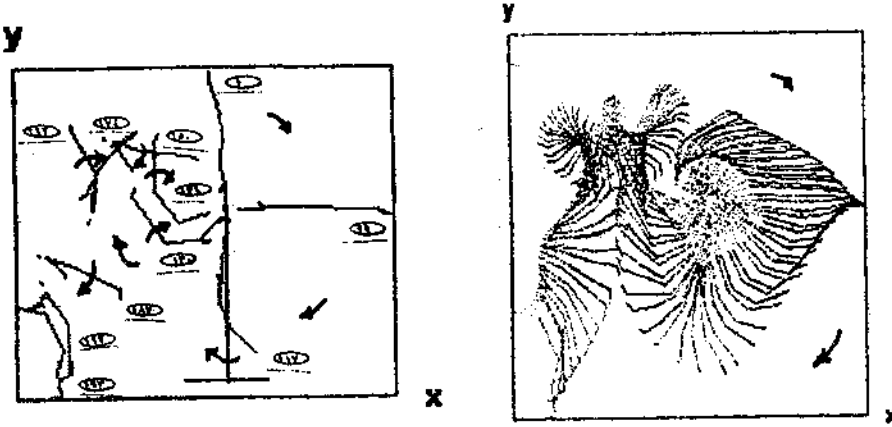
حيث \bar{H} = كمية الحركة الزاوية، \bar{I} = متوسط عزم القصور الذاتي للاعب الجمباز حول نفس المحور، t = الزمن ، θ = المسافة الزاوية .

التحليل الإحصائي Statistical analysis

تم استخدام حزمة البرنامج الإحصائي للعلوم الاجتماعية SPSS في التحليل الإحصائي للبيانات الأساسية المستخرجة من التحليل الديناميكي الكمي باستخدام كل من المتوسط الحسابي والانحراف المعياري ، مصفوفة الارتباط البسيط لسيرمان ، والتحليل المنطقي للانحدار بتحديد نسبة مساهمة المتغيرات الديناميكية في درجة مستوى أداء المهارة قيد البحث .

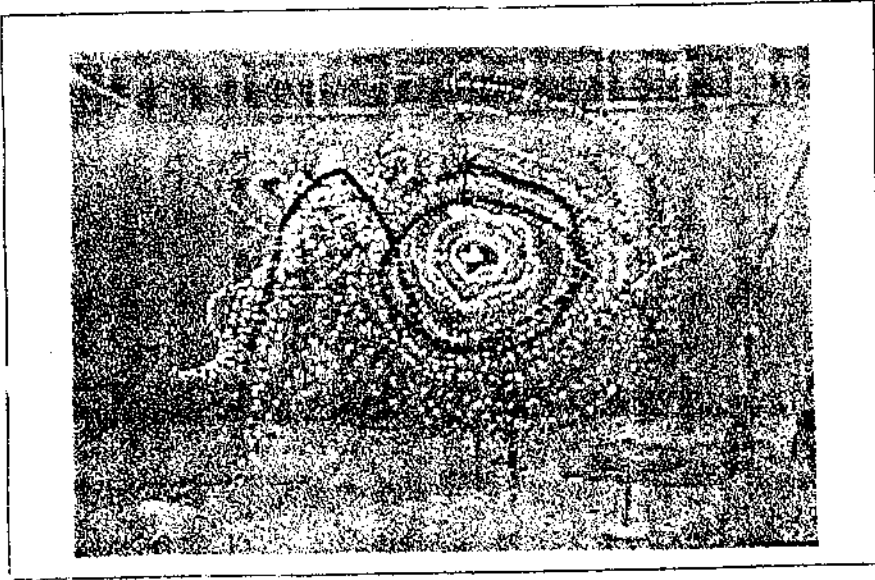
النتائج والمناقشة : The Results and Discussion

أولاً : وصف مهارة الدورة الهوائية الخلفية المستقيمة المزدوجة كنهاية على جهاز العقلة
بملاحظة الصور المتتابعة شكل (٢)، ومسار CG شكل (٣) أتضح أن اللاعب
بدأ مهارة الدورة الهوائية الخلفية المستقيمة المزدوجة كنهاية على جهاز العقلة عقب أداء
الدائرة الخلفية العظمى، $\frac{1}{3}$ دورة حيث انطلق من عارضة العقلة عندما وصل CG عند
الزاوية (٣١٢) عند الصورة (١٣٥) خلال المرجحة لأعلى خلال الدورة الأمامية العظمى
الثانية ومد مفصلي الفخذين مداً زائداً ومد مفصلي الركبتين مداً كاملاً ، وغلق زاوية
الكتفين كاملاً ووضع الساعدين على الصدر حيث يتحرك CG حركة انتقالية في مساره
لأعلى وللأمام مع استمرار الدوران للخلف والجسم في وضع المد الزائد للفخذين لإتمام
الدورتين الخلفيتين المستقيمتين وفي الثلث النهائي من الدورة الخلفية المستقيمة الثانية بمد
اللاعب الذراعين جانباً وينتقل الفخذين من حالة المد الزائد إلى المد حيث يزيد عزم قصوره
الذاتي للجسم وتقل سرعته الزاوية ويصبح في وضع يسمح له بالهبوط الراسخ على مرتبة
الهبوط عند الصورة (١٩٠) وبذلك يتحقق هدف المهارة قيد البحث ويتفق ذلك مع نتائج
David, Maurice & Sung (١٩٩٠م) (٣).



شكل (٢)

الصور المتتالية لمراحل أداء مهارة الدورة الهوائية الخلفية المستقيمة
المزدوجة كنهاية على جهاز العجلة في المحاولة (٤) للاعب (٢)



شكل (٣)

مسار CG خلال أداء مهارة الدورة الهوائية الخلفية المستقيمة
المزدوجة كنهاية على جهاز العجلة في المحاولة (٤) للاعب (٢)

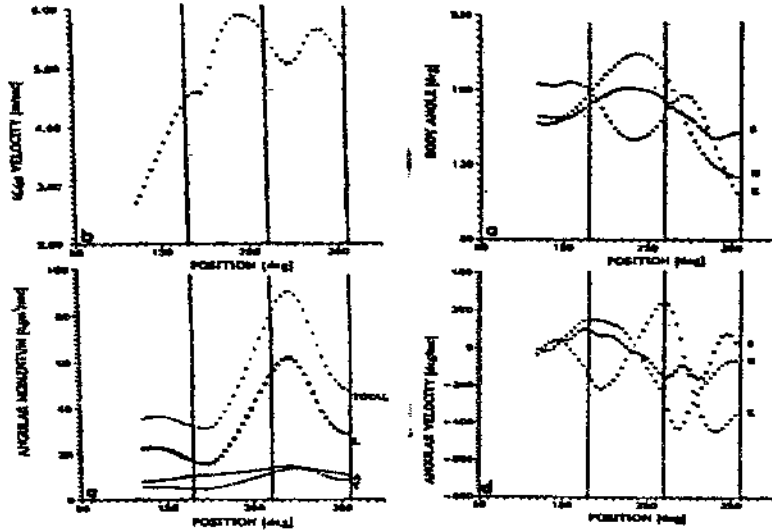
ثانياً : الإعداد للانطلاق من عارضة العقلة :

يودى بدورة الهوائية الخلفية المستقيمة المزوجة كنهاية على جهاز العقلة مسبوقة بالمرحلة الأمامية العظمى كمرحلة إعدادية للحصول على الكميات اللازمة لكل من حركتي الخطية والدورانية . ويوضح الشكل (٤) أن كمية الحركة الزاوية الكلية وصلت الى الحد الأقل من الأقصى لها قبل قاع المرحلة العظمى . والقيم القصوى لكمية الحركة الزاوية العضوية اوضحت انتقال كمية الحركة الزاوية بين الأجزاء خلال مراحل أداء الدورة العظمى الأمامية حيث ظهرت أول قمة للجذع عند زاوية موضع CG مقدارها (٢٤٠) تقريباً . كما وصلت أيضاً الذراعين لأقصى قمة لها عند هذه المرحلة . وهذا الحد الأقصى مطابق للمد الزائد للفخذين والكتفين خلال المرحلة لأسفل ، وكانت أكبر سرعة لمركز ثقل كتلة الجسم عند زاوية (٢٤٠) ، بينما كانت كمية الحركة الزاوية الكلية عند هذه اللحظة حوالي ٦٠% من الحد الأقصى المطلق .

تشير مقارنة الشكلين (b٤ ، c٤) إلى أنه عند نقطة الحد الأقصى للمد الزائد لمفصلي الفخذين ومد مفصلي الركبتين والكتفين ، تسارعت سرعة CG الكلية بمدة . وأظهرت هذه الحركة للفخذين دوراً هاماً في قاعدة المرحلة العظمى التمهيدية . زادت كمية الحركة الزاوية للرجلين والجسم كله تبعاً لكمية الحركة الزاوية للجذع . وقد لوحظ تزامن أدنى كمية حركة زاوية للجذع مع الحد الأقصى لكمية الحركة الزاوية للرجلين وكمية الحركة الزاوية الكلية للجسم .

والجدير بالذكر أن سرعة مد الفخذين الزائدة القصوى متطابقة تماماً مع كمية الحركة الزاوية القصوى . وتتفق هذه النتائج مع نتائج David Maurice & Sung (١٩٩٠م) (٣) والتي تشير إلى أنه لكي تؤدي النهايات بطريقة فنية صحيحة ، سوف يتمكن جميع لاعبي الجمباز من الاستفادة من قيم كمية الحركة الزاوية . وعند أذن سيعرضون استقامة وضع الجسم في الدورة الهوائية الخلفية المستقيمة المزوجة كنهاية على العقلة . كما أشار إظهار ثني الركبتين بزاوية (٩٥) قبل مد الفخذين إلى أقصى سرعة لمد الركبتين عند الوضع الزاوي لمركز ثقل كتلة الجسم (٢٧٠) . بالرغم من وضوح إقلال سرعات ثني الفخذين والكتفين عند الزاوية (٢٨٠) ، إلا أن كلا المفصلين استمرا في إنتاج الثني مع إقلال في انتقال عزم القصور الذاتي ،

دعمت هذه الحركة باستئناف ثني الركبتين ، عدم الزيادة في السرعة الزاوية للاعب الجمناز وإقلال عزم القصور الذاتي عند زاوية (٣٣٠) ، متطابقة مع إقلال كمية الحركة الزاوية.



شكل (٤)

متممات البيانات البيوديناميكية المؤثرة على CG خلال المرحلة التمهيديّة لأداء الدورتين الهوليتين الخلفيتين للمستقرتين كنهاية على جهاز العقلة حيث Total = الجسم كله ، L = الرجلين ، T = الجذع ، S = الكتفين ، A = الزراعين ، H = الفخذين ، K = الركبتين .

جدول (٢)

المقادير الكمية للمتغيرات البيوديناميكية المحددة لمسار CG والمسافة الزاوية في الطيران المؤثرة في أداء الدورة الهوائية الخلفية المستقيمة المزدوجة كنهاية على جهاز العقلة

مرحلة الإطلاق								رقم المحولة	م
٢	٢	١	٤	A	٧	٦	٥		
^H ARM.R (kgm ² /sec)	^H TRU.R (kgm ² /sec)	^H LEGR (kgm ² /sec)	^H TOT.R (kgm ² /sec)	^H CG.R (0)	^H CG.R (m)	^V CGY.R mlsec	^V CGX .R mlsec		
٨,٢٠	١,٢٠	٢١,٦	٤٨,٩	٢٢١	٢,٥١	٢,١٠	١,٤٨	١	١
٨,٤١٠	٩,٥٤	١٢,٢٠	٥٠,٢	٢٢١	٢,٥٧	٢,٦	١,٥٨	٢	٢
٨,٧٢٠	٩,٧٥	٢٢,٢٥	٥١,٢	٢٢٠	٢,٥٨	٢,٧	١,٦٧	٣	٣
٨,٩١٠	٩,٨٨	٢٢,١	٥٢,٤	٢٢٥	٢,٥٠	٢,٥٠	١,٦٧	٤	٤
٩,٤٩٠	١٠,٦٠	٢٦,٢٧	٥٥,٨	٢٢٤	٢,٥٧	٢,٦٥	١,٦٥	٥	٥
٩,٨٤٠	١١,٠٠	٢٧,٦١	٥٧,١٠	٢٢١	٢,٥٨	٢,٦٦	١,٠٠	٦	٦
٩,٩٦٧	٩,٩٦٧	٢٤,٠١٢٢	٥٢,٧٥	٢٢٢	٢,٥٠١٧	٢,٦٢٥	١,٧٧٥	المتوسط الحسابي	
١٠,٥٧٧	١٠,٧١٨	٢٧,٢٧٥	٦٤,٤٤	٢٠٠	١٠,٢٧	١٠,٢٢٠٩	١,١٦٦	الانحراف المعياري (-)	
٨,٢٠	٩,٠٢	٢١,٦٠	٤٨,٩	٢٢٠	٢,٥٠	٢,٦٠	١,٦٥	قعد اليمنى	
٩,٨٤	١١,٠٠	٢٧,٦٤	٥٧,٩	٢٢٥	٢,٥٨	٢,٦٦	١,٠٠	قعد الأيسرى	

تابع جدول (٢)

مرحلة الطيران											رقم المعادلة	م
٢٠	١٩	١٨	١٧	١٦	١٥	١٤	١٣	١٢	١١	١٠		
^{Na} AngL3 (0)	^{T.H} AngL3 (0)	^{Na} AngL3 (0)	^{Na} AngL2 (0)	^{T.H} AngL2 (0)	^{Na} AngL2 (0)	^{Na} AngL1 (0)	^{T.H} AngL1 (0)	^{Na} AngL1 (0)	^{CG} (m)	^{L.T} sec		
١٨٠	١٧٢	٩٠	١٨٠	١٨١	٤٠	١٨٠	١١٠	١٠٠	٣,٧٠	١,٢٠	١	١
١٧٩	١٧٥	٩٢	١٧٩	١٨٦	٦٠	١٧٩	١٩٢	٤,٢	٣,٥٠	١,٣٥	٢	٢
١٨٧	١٧٨	٩٦	١٧٨	١٨٧	٧٠	١٧٧	١٩٥	٥,٣	٣,٦٠	١,٣٢	٣	٣
١٨٠	١٧٠	٩٥	١٨٠	١٨٠	٧٥	١٧٦	١٩٦	٦,٥	٣,٤٠	١,٣٦	٤	٤
١٨٠	١٧٦	٨٨	١٨٠	١٨٠	٨٠	١٨٠	١٩٥	٧,٠	٣,٦٠	١,٣٢	٥	٥
١٧٩	١٧٥	٨٧	١٨١	١٧٩	٨٢	١٨٠	١٩٦	٦,٤	٣,٥٠	١,٣٥	٦	٦
١٨٠,٨٣٠	١٧٤,٢٣	٩١,٢٢	١٧٩,٧	١٨٢,٧٠	١٧,٨٣	١٧٨,٧٠	١٩٣,٧٠	٤,٦٠	٣,٥٥	١,٣٣٠	المتوسط الحسابي	
٣,٠٦	٢,٨٨	٣,٦٧	١,٢٠	٣,٤٥	١٥,٧٥	١,٧٥٠٠	٢,٤٢٠٠	١,٠٠٨	٠,١٠٤٨	٠,٠٢٣٠	الانحراف المعياري	
١٧٩	١٧٠	٨٧	١٧٨	١٧٩	١٠٠,٠٠	١٧٦	١٩٠	٤,٢٠	٣,٤٠	١,٣٠	الحد الأدنى	
١٨٧	١٧٨	٩٦	١٨١	١٨٧	٨٢,٠٠	١٨٠	١٩٦	٧,٠٠	٣,٧٠	١,٣٦	الحد الأقصى	

تابع جدول (٢)

مرحلة الطيران											رقم المعادلة	م
درجة مستوى الكفاءة	٢٠	٢٩	٢٨	٢٧	٢٦	٢٥	٢٤	٢٣	٢٢	٢١		
	^{CGY} (msec)	^{CGX} (msec)	^{CGTDY} (N)	^{CGTDX} (N)	^{CGTDY} (msec)	^{CGTDX} (msec)	^{Na} AngL.TD4 (0)	^{T.H} AngL.TD4 (0)	^{Na} AngL.TD4 (0)	^{CG.TD} (m)		
٩,٤	صفر	صفر	١,٠٢٥	٢٨٠	٤,٤	٠,٧	٨٤	١٢٢	١٥٠	١,١٢	١	١
٩,٦	صفر	صفر	١,٠٤٠	٢٧٠	٤,٦	٠,٨٠	٩٠	١٢٥	١٤٨	١,١٥	٢	٢
٩,٥	صفر	صفر	١,٠٤٥	٢٩٠	٤,٦	١,٠٠	٩٢	١٢٧	١٤٩	١,١٥	٣	٣
٩,٨	صفر	صفر	١,٠٦٠	٣٥٠	٤,٣	٠,٩٤	٨٩	١٢٣	١٨١	١,١٤	٤	٤
٩,٧	صفر	صفر	١,٠٨٠	٣٤٥	٤,٥	٠,٩	٨٨	١٢٢	١٨٠	١,١٢	٥	٥
٩,٨	صفر	صفر	١,٠٩٠	٣٤٠	٤,٤	٠,٩٨	٨٨	١٢٤	١٧٥	١,١٠	٦	٦
٩,٦٢	صفر	صفر	١,٠٥٥,٨٠	٣,٠٧,٥	٤,٥٢	٠,٨٨٧	٨٩,٢٣	١٣٠,٨٣	١٦٣,٨٢	١,١٣٠	المتوسط الحسابي	
٠,١١٣٠	صفر	صفر	٢١,١٦٠	٤٣,١٠٠	٠,٢٠٧	٠,١١٦	١,٥١٠	١٧,٧٤	١٦,٣٨٨	٠,٠٢٠	الانحراف المعياري	
٩,٤٠	صفر	صفر	١,٠٢٠	٢٥٠	٤,٢٠	٠,٧٠	٨٨,٠٠	١٢٢,٠	١٤٨,٠٠	١,٠٠٠	الحد الأدنى	
٩,٨٠	صفر	صفر	١,٠٩٠	٣٥٠	٤,٩٠	١,٠٠	٩٢,٠٠	١٢٧,٠	١٨١	١,١٥	الحد الأقصى	

ثالثاً : مرحلة الانطلاق : Release phase

أظهرت نتائج التحليل الإحصائي الوصفي للعوامل البيوديناميكية المحددة لمسار CG والمسافة لحظة الانطلاق المؤثرة في أداء الدورة الهوائية الخلفية المستقيمة المزروجة كنهاية على جهاز العقلة جدول (٢) أن خلال مرحلة الانطلاق كانت قيم كل من المتوسط الحسابي والانحراف المعياري والحدين الأدنى والأقصى لكل من سرعة CG الأفقية ، الرأسية ، سرعة CG الرأسية وارتفاع CG ، وزاوية CG وكمية الحركة الزاوية الكلية للجسم، وكمية الحركة الزاوية للسرجلين ، وكمية الحركة الزاوية للجذع والرأس ، وكمية الحركة الزاوية

المستوى الثالث : ويتصف بهفر سرعة CG في اتجاه المركبة الرأسية لحظة الانطلاق وتمثله المحاولة (١) بمقدار (٣,١٠ م/ث) .

لوحظ وجود تقارب بين زاوية CG لحظة الانطلاق في كل من المحاولات (٦,٣,٢,١) حيث كانت على التوالي هي (٣٢١, ٣٢٠, ٣٢١, ٣٢١) كما وجد تقارب أيضاً في زاوية CG لحظة الانطلاق بين المحاولتين (٥,٤) حيث كان قيمة كل منهما على التوالي (٣٢٤, ٣٢٥) وبناء على ذلك يمكن تقسيم المحاولات قيد البحث وفق تقارب زاوية CG لحظة الانطلاق إلى المستويين التاليين :

المستوى الأول : ويتميز بكون زاوية CG لحظة الانطلاق وتمثله كل من المحاولتين (٤,٥) وتحتصر زاوية CG لحظة الانطلاق ما بين (٣٢٤, ٣٢٥) .

المستوى الثاني : ويتصف بزاوية CG لحظة الانطلاق وتحتصر ما بين (٣٢٠, ٣٢١) وتمثله المحاولات (٦,٣,٢,١) .

كما لوحظ وجود تقارب بين المحاولات (٦,٥,٣,٢) في ارتفاع CG لحظة الانطلاق حيث كانت قيمة كل منهما على التوالي هي (٢,٥٧ متر ، ٢,٥٨ متر ، ٢,٥٧ متر ، ٢,٥٧ متر) ، ووجود تقارب بين المحاولتين (٤,١) في ارتفاع CG لحظة الانطلاق حيث كانت قيمة كل منهما على التوالي (٢,٥١ متر ، ٢,٥٠ متر) وبناء على ذلك يمكن تقسيم المحاولات قيد البحث إلى المستويين وفق ارتفاع CG لحظة الانطلاق كما يلي :

المستوى الأول : ويتميز بارتفاع CG لحظة الانطلاق وتمثله كل من المحاولات (٦,٥,٣,٢) وتحتصر قيمة ارتفاعاته ما بين (٢,٥٧ متر ، ٢,٥٨ متر) عن الأرض .

المستوى الثاني : ويتميز بارتفاع CG لحظة الانطلاق وتحتصر قيمته ما بين (٢,٥٠ متر ، ٢,٥١ متر) عن الأرض وتمثله كلا المحاولتين (٤,١) .

كما لوحظ وجود تقارب في كمية الحركة الزاوية الكلية خلال لحظة الانطلاق بين كل من المحاولات (٤,٣,٢) حيث كانت قيمة كمية الحركة الزاوية الكلية لحظة الانطلاق لكل منهما على التوالي هي (٥٠,٢ كجم.م^٢/ث ، ٥١,٣ كجم.م^٢/ث ، ٥٢,٤

كجم.م^٢/ث) ، وجود تقارب بين المحاولتين (٦،٥) في كمية الحركة الزاوية الكلية لحظة الانطلاق حيث كانت قيمة كل منهما على التوالي (٥٥،٨ كجم.م^٢/ث ، ٥٧،٩٠ كجم.م^٢/ث). وعدم وجود تقارب بين المحاولة (١) وباقي المحاولات قيد الدراسة في كمية الحركة الزاوية الكلية لحظة الانطلاق حيث كانت قيمتها (٤٨،٩٠ كجم.م^٢/ث) وبناء على ذلك يمكن تقسيم المحاولات قيد الدراسة وفق تقاربها وعدم تقاربها إلى ثلاث مستويات التالية :

المستوى الأول : ويتميز بكمية الحركة الزاوية الكلية لحظة الانطلاق وتمثله المحاولتين (٦،٥) بقيمة تنحصر ما بين (٥٥،٨ كجم.م^٢/ث ، ٥٧،٩٠ كجم.م^٢/ث) .

المستوى الثاني : ويتصف بقيمة كمية حركة زاوية كلية تنحصر ما بين (٥٠،٢ كجم.م^٢/ث ، ٥٢،٤٠ كجم.م^٢/ث) . وتمثله المحاولات (٤،٣،٢) .

المستوى الثالث : ويتصف بصغر كمية الحركة الزاوية الكلية لحظة الانطلاق نسبياً وتمثله المحاولة (١) بقيمة (٤٨،٩) كجم.م^٢/ث) .

كما وجود تقارب في كمية الحركة الزاوية للرجلين لحظة الانطلاق ما بين المحاولات (٤،٣،٢،١) حيث كانت قيم كل منها على التوالي هي (٣١،٦ كجم.م^٢/ث ، ٣٢،٣ كجم.م^٢/ث ، ٣٣،٣٥ كجم.م^٢/ث ، ٣٣،١ كجم.م^٢/ث) ، وجود تقارب بين المحاولتين (٦،٥) في كمية الحركة الزاوية للرجلين لحظة الانطلاق حيث كان قيم كل منهما على التوالي (٣٦،٢٧ كجم.م^٢/ث ، ٣٧،٦٤ كجم.م^٢/ث). وبذلك يمكن تقسيم المحاولات قيد البحث وفق كمية الحركة الزاوية للرجلين إلى مستويين التالية :

المستوى الأول : ويتميز بكمية الحركة الزاوية للرجلين لحظة الانطلاق وتمثله المحاولتين (٦،٥) بقيم تنحصر كل منهما ما بين (٣٦،٢٧ كجم.م^٢/ث ، ٣٧،٦٤ كجم.م^٢/ث) .

المستوى الثاني : ويتصف بكمية الحركة الزاوية للرجلين لحظة الانطلاق تنحصر ما بين (٣١،٦ كجم.م^٢/ث ، ٣٣،١ كجم.م^٢/ث) وتمثله كل من المحاولات (٤،٣،٢،١) .

وجد تقارب في كمية الحركة الزاوية للجذع مع الرأس في كل من المحاولات (٤،٣،٢،١) حيث كانت قيمة كل منها على التوالي هي (٩،٣ كجم.م^٢/ث ، ٩،٥٤ كجم.م^٢/ث ، ٩،٧٥ كجم.م^٢/ث ، ٩،٨٨ كجم.م^٢/ث) ، ووجود تقارب أيضاً ما بين

المحاولتين (٦،٥) في كمية الحركة الزاوية للجدع مع الرأس حيث كانت قيمة في كل منهما على التوالي هي (١٠،٦ كجم.م^٢/ث ، ١١،٠٠ كجم.م^٢/ث). وعلى ذلك يمكن تقسيم المحاولات قيد البحث وفقاً لكمية الحركة الزاوية للجدع مع الرأس إلى ما يلي :

المستوى الأول : ويتميز بكمية الحركة الزاوية للجدع مع الرأس تنحصر ما بين (١٠،٦ كجم.م^٢/ث ، ١١،٠٠ كجم.م^٢/ث) وتمثله المحاولتين (٦،٥) .

المستوى الثاني : ويتصف بكمية الحركة الزاوية للجدع مع الرأس تنحصر ما بين (٩،٠٣ كجم/ث ، ٩،٥٤ كجم/ث ، ٩،٧٥ كجم/ث ، ٩،٨٨ كجم/ث) ، وتمثله كل من المحاولات (١ ، ٢ ، ٣ ، ٤) .

وجد تقارب في كمية الحركة الزاوية للذراعين بين كل من المحاولات (١،٢،٣،٤) حيث كانت قيمة كل منها على التوالي هي (٨،٣ كجم.م^٢/ث ، ٨،٥٤ كجم.م^٢/ث ، ٨،٧٢ كجم.م^٢/ث ، ٨،٩١ كجم.م^٢/ث) ، ووجد تقارب أيضاً في كمية الحركة الزاوية للذراعين بين المحاولتين (٦،٥) حيث كان قيمة كل منهما على التوالي هي (٩،٤٩ كجم.م^٢/ث ، ٩،٨٤ كجم.م^٢/ث).

وعلى ذلك يمكن تقسيم المحاولات قيد البحث وفق للاتفاق في كمية الحركة الزاوية للذراعين إلى المستويات التالية :

المستوى الأول : ويتميز بقيمة كمية حركة زاوية الذراعين المحصرت ما بين (٨،٣ كجم.م^٢/ث ، ٨،٩١ كجم.م^٢/ث) وتمثله كل من المحاولات (١ ، ٢ ، ٣ ، ٤) .

المستوى الثاني : ويتصف بقيمة كمية حركة زاوية الذراعين المحصرت ما بين (٩،٤٩ كجم.م^٢/ث ، ٩،٨٤ كجم.م^٢/ث) وتمثله المحاولتين (٦،٥) .

رابعاً : مرحلة الطيران : The flight phase

تشير نتائج التحليل الإحصائي الوصفي للعوامل الديناميكية المؤثرة في أداء الدورة الهوائية الخلفية المستقيمة المزدوجة خلال مرحلة الطيران المختارة شكل (١) وجدول (٢) إلى ما يلي :

١ المتوسط الحسابي والانحراف المعياري . اخذين الأدق والأقصى لكل من زمن الطيران ، أقصى ارتفاع لمركز ثقل كتلة الجسم خلال الطيران ، شكل الجسم خلال الدورة الهوائية الخلفية المستقيمة الأولى مقاساً بكل من أقصى غلق للكفتين ، أقصى مد زائد للفخذين ، أقصى مد للركبتين . خلال الدورة الهوائية الخلفية المستقيمة الثانية مقاساً بكل من غلق الكفتين ، أقصى مد زائد للفخذين ، أقصى مد للركبتين ، أقصى مد للكفتين في الربع الأخير من الدورة هوائية الخلفية المستقيمة الثانية ، أقصى مد للفخذين في الربع الأخير من الدورة الهوائية الخلفية المستقيمة الثانية . أقصى مد للركبتين في الربع الأخير من الدورة الهوائية الخلفية المستقيمة الثانية ، مقاديرها على التوالي هي (١,٣٣+١,٢٣) ، (١,٣) ، (١,٣٦) ، (٣,٥٥+١,١٠٤٩) ، (٢,٤) ، (٢,٥٠) ، (١,٠٠٨+٥,٩) ، (٤,٢) ، (٧,٠٠) ، (٢,٤٢+١,٩٣) ، (١,٩٠) ، (١,٩٦) ، (١,٧٥+١,٧٨) ، (١,٧٦) ، (١,٨٠) ، (٦,٧٨+١٥,٧٥) ، (٤,٠٠) ، (٨٢,٠) ، (٣,٤٥+١,٨٢) ، (١,٧٩) ، (١,٨٧) ، (١,٠٣+١,٧٩) ، (١,٧٨) ، (١,٨١) ، (٣,٦٧+٩١,٣٣) ، (٨٧) ، (٩٦) ، (٢,٨٨+١,٧٤) ، (١,٧٠) ، (١,٧٨) ، (٣,٠٦+١,٨٠) ، (١,٧٩) ، (١,٨٧) . ويفسر سحت هذه النتائج بأنه قد تم استغلال الاستفادة من تحفيز زمن الطيران الطويل نسبياً وارتفاع مناسب لمركز ثقل كتلة الجسم خلال الطيران ، وغلق الكفتين ووضع الساعدين على الصدر . والمد الزائد للفخذين ومد الركبتين خلال الدورة الهوائية الخلفية المستقيمة الأولى واستمرار ذلك إلى أن يقصر جسم عند الربع الأخير من الدورة الهوائية الخلفية المستقيمة الثانية حيث تم قصر الكفتين ومد الذراعين جانباً ووصول الفخذين والركبتين للمد استكمالاً لاستغلال العلاقة العكسية بين السرعة الزاوية لأجزاء الجسم حول المحور الأفقي المار بمركز ثقله وعزبه القصور الذاتي لها حول نفس المحور عند ثبات كمية الحركة الزاوية الكلية خلال الطيران . وتتفق هذه النتائج مع نتائج David, Maurice, & Sung (١٩٩٠م) (٣) ، والتي تشير إلى أن متوسط كل من زمن الطيران (١,٢٦ ثانية) . وارتفاع CG خلال طيران (٣,٦٣ متر) وأقل مد للفخذين (١,٢٠,٥) .

كما نلاحظ في الجدول (٢) خلال مرحلة الطيران وجود ما يلي :

(١) تقارب زمن الطيران بين المحاولات (٥،٣،١) حيث كانت قيمة كل منها (١،٣٠، ثانية، ١،٣٢، ثانية، ١،٣٢، ثانية) على التوالي .

(٢) تقارب في زمن الطيران بين المحاولات (٦،٤،٢) حيث كانت قيمة كل منها على التوالي هي (١،٣٥، ثانية، ١،٣٦، ثانية، ١،٣٥، ثانية) . وبذلك يمكن تقسيم المحاولات قيد البحث وفق تقاربها في زمن الطيران إلى المستويين التاليين :

المستوى الأول : ويتميز بكون زمن الطيران نسبياً وتتحصر ما بين (١،٣٥، ثانية ، ١،٣٦، ثانية) وتمثله المحاولات (٦،٤،٢) .

المستوى الثاني : ويتصف بزمن طيران انحصر ما بين (١،٣٠، ثانية، ١،٣٢، ثانية) وتمثله المحاولات (٥،٣،١) .

(٣) تقارب في أقصى ارتفاع وصل إليه CG بين المحاولات (٦،٤،٢) حيث كانت كل منها على التوالي هي (٢،٥٠، متر، ٢،٤٠، متر، ٢،٥٠، متر) .

(٤) تقارب في أقصى ارتفاع وصل إليه CG بين المحاولات (٥،٣،١) حيث كانت كل منها على التوالي هي (٢،٧٠، متر، ٢،٦٠، متر، ٢،٦٠، متر) . وبذلك يمكن تقسيم المحاولات قيد البحث وفق تقاربها في أقصى ارتفاع وصل إليه CG خلال الطيران إلى المستويين التاليين :

المستوى الأول : يتميز بكون أقصى ارتفاع لمركز ثقل كتلة الجسم خلال الطيران وتمثله المحاولات (٥،٣،١) وانحصر ما بين (٢،٦٠، متر، ٢،٧٠، متر) .

المستوى الثاني : يتصف بأقصى ارتفاع لمركز ثقل كتلة الجسم خلال الطيران انحصر ما بين (٢،٤٠، متر، ٢،٥٠، متر) . وتمثله المحاولات (٦،٤،٢) .

(٥) تقارب في غلق الكتفين خلال الدورة الهوائية الخلفية المستقيمة الأولى بين المحاولات (١،٦،٤) . حيث كانت قيمة كل منها على التوالي (٦،٠)، (٦،٥)، (٦،٤) ، وعدم وجود تقارب بين المحاولة (٢) وكل من المحاولات قيد الدراسة ، عدم وجود تقارب بين المحاولة (٥) وباقي المحاولات قيد الدراسة . وبذلك يمكن تقسيم المحاولات قيد البحث وفق تقاربها أو عدم تقاربها إلى المستويات التالية :

المستوى الأول : تتميز بغلق الكتفين خلال الدورة الهوائية الخلفية المستقيمة الأولى وتمثله المحاولة (٢) وكانت قيمة زاوية الكتفين (٧،٠) .

المستوى الثاني: يتصف مغلق الكتفين خلال الدورة الهوائية الخلفية المستقيمة الأولى وتمثله المحاولات (٦،٤،١) وقيمة المغلق في كل منها (٦،٥،٥،٣،٦،٠) على التوالي .
٦) تقارب المد الزائد للفتحين خلال الدورة الهوائية الخلفية المستقيمة الأولى بين المحاولات (٦،٥،٤،٣) حيث كانت قيمة كل منها على التوالي (١٩٥)، (١٩٦)، (١٩٥)، (١٩٦)، (١٩٦) ، ووجود تقارب بين المحاولتين (٢،١) حيث بلغت كل منهما على التوالي (١٩٣،١٩٠) . وعلى ذلك يمكن تقسيم المحاولات قيد البحث وفق تقاربها في المد الزائد للفتحين خلال الدورة الهوائية الخلفية المستقيمة الأولى إلى المستويين التاليين .

المستوى الأول : يتميز بأكبر المد الزائد للفتحين خلال الدورة الهوائية الخلفية المستقيمة الأولى وتمثله المحاولات (٦،٥،٤،٣) وانحصرت قيمة ما بين (١٩٥،١٩٦) .
المستوى الثاني: ويتصف بأمد الزائد للفتحين خلال الدورة الهوائية الخلفية المستقيمة الأولى وتمثله المحاولتين (٣،١) وانحصرت قيمة ما بين (١٩٠،١٩٣)

٧) تطابق في مد الركبتين خلال الدورة الهوائية الخلفية المستقيمة الأولى بين المحاولات (٦،٥،١) حيث كان كل منها (١٨٠) . ووجود تقارب في مد الركبتين خلال الدورة الهوائية الخلفية المستقيمة الأولى بين المحاولات (٤،٣،٢) حيث كانت قيمة كل منها (١٧٦،١٧٧،١٧٩) على التوالي . وبذلك يمكن تقسيم المحاولات قيد البحث وفق تقاربها في مد الركبتين خلال الدورة الهوائية الخلفية المستقيمة الأولى إلى المستويين التاليين :

المستوى الأول : تميز بتمام مد الركبتين خلال الدورة الهوائية الخلفية المستقيمة الأولى وتمثله كل من المحاولات (٦،٥،١) .

المستوى الثاني: ويتصف بمد الركبتين خلال الدورة الهوائية الخلفية المستقيمة الأولى وانحصرت قيمة ما بين (١٧٦،١٧٩) على التوالي وتمثله المحاولات (٢،٤،٣) .

٨) تقارب في غلق الكتفين خلال الدورة الهوائية الخلفية المستقيمة الثانية بين المحاولتين (٦،٥) حيث بلغت قيمة غلق كل منهما (٨٠) ، (٨٢) على التوالي . وتقارب بين المحاولتين (٤،٣) حيث بلغت قيمة غلق كل منهما (٧٠) ، (٧٥) على التوالي ، وعدم وجود تقارب بين المحاولة الأولى ، باقي المحاولات حيث كان قيمة غلق الكتفين فيها (٤٠) ، وعدم وجود تقارب بين المحاولة الثانية وباقي المحاولات قيد الدراسة حيث كان

قيمة غلق الكتفين فيها (٦٠) . وبذلك يمكن تقسيم المحاولات قيد الدراسة وفق تقاربها أو عدم تقاربها في غلق الكتفين خلال الدورة الهوائية الخلفية المستقيمة الثانية إلى ثلاث مستويات كما يلي :

المستوى الأول : : تميز بغلق الكتفين خلال الدورة الهوائية الخلفية المستقيمة الثانية بقيمة انحصرت ما بين (٨٠) ، (٨٢) على التوالي وتمثله المحاولتين (٦٠،٥) .

المستوى الثاني: يتصف بغلق الكتفين خلال الدورة الهوائية الخلفية المستقيمة الثانية بقيمة انحصرت ما بين (٧٠) ، (٧٥) على التوالي وتمثله المحاولتين (٤،٣) .

المستوى الثالث : : يتصف بغلق الكتفين خلال الدورة الهوائية الخلفية المستقيمة الثانية بقيمة (٦٠) وتمثله المحاولة الثانية.

المستوى الثالث : : يتصف بغلق الكتفين خلال الدورة الهوائية الخلفية المستقيمة الثانية بقيمة (٤٠) وتمثله المحاولة الأولى .

٩) تقارب المد الزائد للفخذين خلال الدورة الهوائية الخلفية المستقيمة الثانية بين المحاولات (٦،٥،٤،١) حيث كانت قيمة كل منها (١٧٩)، (١٨٠)، (١٨٠)، (١٨١) على التوالي ، ووجود تقارب بين المحاولتين (٣،٢) حيث كانت قيمة (١٨٦،١٨٧) على التوالي. وبذلك يمكن تقسيم المحاولات قيد الدراسة وفق تقاربهم في المد الزائد للفخذين خلال الدورة الهوائية الخلفية المستقيمة الأولى إلى المستويين التاليين :

المستوى الأول : تميز بالمد الزائد للفخذين خلال الدورة الهوائية الخلفية المستقيمة الثانية المحاولات (٦،٥،٤،١) على التوالي وانحصرت قيمة ما بين (١٧٩) ، (١٨١) .

المستوى الثاني: ويتصف بالمد الزائد للفخذين خلال الدورة الهوائية الخلفية المستقيمة الثانية وتمثله المحاولتين (٣،٢) وانحصرت قيمة ما بين (١٨٦،١٨٧) .

١٠) تقارب في مد الركبتين خلال الدورة الهوائية الخلفية المستقيمة الثانية بين المحاولات (٦،٥،٤،١) حيث بلغت قيمتها (١٨٠) ، (١٨٠) ، (١٨٠) ، (١٨١) على التوالي .

وبين المحاولتين (٣،٢) حيث بلغت قيمة كل منهما (١٧٩،١٧٨) على التوالي . وبذلك يمكن تقسيم المحاولات قيد الدراسة وفق تقاربها في مد الركبتين خلال الدورة

الهوائية الخلفية المستقيمة الثانية إلى المستويين التاليين :

المستوى الأول : يتميز بمد الركبتين خلال الدورة الهوائية الخلفية المستقيمة الثانية بقيمة (١٨٠)، (١٨١) وتمثله كل من المحاولات (٦،٥،٤،١) .

المستوى الثاني: يتصف بمد الركبتين خلال الدورة الهوائية الخلفية المستقيمة الثانية وانحصرت قيمة ما بين (١٧٨،١٧٩) على التوالي وتمثله المحاولات (٣،٢) .

(١١) تقارب في أقصى مد الكتفين في الربع الأخير من خلال الدورة الهوائية الخلفية المستقيمة الثانية بين المحاولتين (٤،٣) حيث بلغت قيمة كل منها (٩٥،٩٦) على التوالي . وبين المحاولتين (٢،١) حيث بلغت قيمة كل منها (٩٢،٩٠) على التوالي . وبين المحاولتين (٦،٥) حيث بلغت قيمة كل منها (٨٧،٨٨) على التوالي . وبذلك يمكن تقسيم المحاولات قيد الدراسة وفق أقصى مد للكتفين في الربع الأخير من خلال الدورة الهوائية الخلفية المستقيمة الثانية إلى ثلاث مستويات كما يلي :

المستوى الأول : تتميز أقصى مد الكتفين في الربع الأخير من خلال الدورة الهوائية الخلفية المستقيمة الثانية بقيم انحصرت ما بين (٩٥،٩٦) وتمثله المحاولتين (٤،٣) .

المستوى الثاني: يتصف بأقصى مد الكتفين في الربع الأخير من خلال الدورة الهوائية الخلفية المستقيمة الثانية بقيم انحصرت ما بين (٩٢،٩٠) وتمثله المحاولتين (٢،١) .

المستوى الثالث: يتصف بأقصى مد الكتفين في الربع الأخير من خلال الدورة الهوائية الخلفية المستقيمة الثانية بقيم انحصرت ما بين (٨٧،٨٨) وتمثله المحاولتين (٦،٥) .

(١٢) تقارب أقصى مد للفتحين في الربع الأخير من خلال الدورة الهوائية الخلفية المستقيمة الثانية بين المحاولات (٦،٥،٣،٢) حيث بلغت قيمة كل منها (١٧٨،١٧٥)، (١٧٥،١٧٦) على التوالي . وبين المحاولتين (٤،١) حيث بلغت قيمة كل منهما (١٧٢،١٧٠) على التوالي . وبذلك يمكن تقسيم المحاولات قيد الدراسة وفق أقصى مد للفتحين في الربع الأخير من خلال الدورة الهوائية الخلفية المستقيمة الثانية إلى مستويين كما يلي :

المستوى الأول : تتميز بأقصى مد للفتحين في الربع الأخير من خلال الدورة الهوائية الخلفية المستقيمة الثانية بقيم انحصرت ما بين (١٧٨،١٧٥) وتمثله المحاولتين (٦،٥،٣،٢) .

المستوى الثاني: يتصف بأقصى مد للفتحين في الربع الأخير من خلال الدورة الهوائية الخلفية المستقيمة الثانية بقيم انحصرت ما بين (١٧٠،١٧٢) وتمثله المحاولتين (٤،١) .

١٣) تقارب أقصى مد للركبتين في الربع الأخير من خلال الدورة الهوائية الخلفية المستقيمة الثانية بين المحاولات (٦،٥،٤،٢،١) حيث بلغت قيمة كل منها (١٨٠، ١٧٩، ١٨٠، ١٧٩) على التوالي . وعدم وجود تقارب في أقصى مد للركبتين في الربع الأخير من خلال الدورة الهوائية الخلفية المستقيمة الثانية بين المحاولة (٣) وكل من المحاولات قيد الدراسة حيث بلغت قيمتها (١٨٧) . وبذلك يمكن تقسيم المحاولات قيد الدراسة وفق تقاربها أو عدم تقاربها في أقصى مد للركبتين في الربع الأخير من خلال الدورة الهوائية الخلفية المستقيمة الثانية إلى مستويين كما يلي :

المستوى الأول : تميز بأقصى مد للركبتين في الربع الأخير من خلال الدورة الهوائية الخلفية المستقيمة الثانية بقم المحصرت ما بين (١٨٠، ١٧٩) على التوالي (٦،٥،٤،٢،١) وتمثله المحاولتين (٦،٥،٣،٢) .

المستوى الثاني : يتصف بأقصى مد للركبتين في الربع الأخير من خلال الدورة الهوائية الخلفية المستقيمة الثانية بقيمة (١٨٧) وتمثله المحاولة (٣) .

خامساً : مرحلة الهبوط : The landing phase

أوضحت نتائج التحليل الإحصائي الوصفي لمرحلة الهبوط جدول (٢) أن المتوسط الحسابي ، والانحراف المعياري والحدين الأدنى والأقصى لكل من ارتفاع CG لحظة لمس القدمين مرتبة الهبوط ، أقصى انقباض للكففين لحظة لمس القدمين مرتبة الهبوط ، أقصى مد للفخذين لحظة لمس القدمين مرتبة الهبوط ، سرعة CG الأفقية لحظة لمس القدمين مرتبة الهبوط ، سرعة CG الرأسية لحظة لمس القدمين مرتبة الهبوط ، و القوة المؤثرة على CG في اتجاه المركبة الأفقية لحظة لمس القدمين مرتبة الهبوط ، و القوة المؤثرة على CG في اتجاه المركبة الرأسية لحظة لمس القدمين مرتبة الهبوط ، سرعة CG في اتجاه كلا المركبتين الرأسية و الأفقية في نهاية مرحلة الهبوط بلغت قيمتها على التوالي (١،١٣) متر+٠،٠٢) ، (١،٠٠متر) ، (١،١٥متر) ، (١٦،٣٨٨+١٦٣،٨٣) ، (١٤٨) ، (١٨١) ، (١٧،٧٤-+١٣٠،٨٣) ، (١٢٣) ، (١٦٧) ، (١،٥١-+٨٩،٣٣) ، (٨٨) ، (٩٢،٥٠) ، (٠،٨٨٧متر/ثانية+٠،١١٦) ، (٠،٧٠متر/ثانية) ، (١،٠متر/ثانية) ، (٤،٥٣متر/ثانية+٠،٢٠٧) ، (٤،٣متر/ثانية) ، (٤،٩متر/ثانية) ،

(٣٠٧,٥ نيوتن+٤٣,١) ، (٢٥٠ نيوتن) ، (٣٥٠ نيوتن) ، (١٠٥٥,٨ نيوتن+
٢٦,١٦) ، (١٠٢٠ نيوتن) ، (١٠٩٠ نيوتن) ، (صفر متر/ثانية+صفر) ، (صفر
متر/ثانية) ، (صفر متر/ثانية). والحددين الأدنى والأقصى لدرجة مستوى الأداء كانت
قيمتها هي (٩,٦٣ نقطة+٠,١٦٣) ، (٩,٤ نقطة) ، (٩,٨ نقطة). ويفسر الباحث
هذه النتائج بأنه نتيجة للتحكم في الجسم خلال أداء الدورتين الخلفيتين المستقيمتين
خلال مرحلة الطيران والتي تمت عن طريق توافق تغيير شكل الجسم من وضع
الاستقامة الزائدة خلال الدوران في الدورة الأولى والثانية حتى الربع الأخير حيث بدأ
اللاعب في الانتقال من المد الزائد للفلخدين إلى المد من غلق مفصلي الكتفين إلى مدهما
والذراعين جانباً ومد مفصلي الركبتين مما أدى إلى وصول اللاعب إلى وضع مناسب
للهبوط ووضع القدمين على مرتبة الهبوط حيث توضح هذه الخطوة أن اللاعب بذل
السرعة والقوة المناسبة مقداراً واتجهاً لحدوث فرملة لمركز ثقل كتلة الجسم حيث
ظهر أثارها في نهاية مرحلة الهبوط حيث وصلت إلى صفر وحدث الاتزان الديناميكي
والوصول لوضع الوقوف. ويؤكد ذلك تقييم الحكمين لمستوى الأداء حيث وصل إلى
متوسط (٩,٦٣) نقطة ويرجع الخصم الحادث وهو (٠,٣٧٩) إلى حدوث بعض الخطأ
الشكلي خلال مرحلة الطيران مثل فتح الرجلين قليلاً أو عدم المد الكامل للركبتين.
وتتفق هذه النتائج مع ما توصل إليه David, Mourice & Sung (١٩٩٠م) (٣)
من حيث أن استقامة الجسم خلال الطيران في الدورة الهوائية الخلفية المستقيمة كنهاية
على جهاز العقلة يساعد في التحكم في الدوران خلال الهبوط

سادساً: العلاقات الارتباطية بين المتغيرات الديناميكية المحددة لمسار CG

والمسافة الزاوية في الطيران ودرجة مستوى أداء الدورة الهوائية الخلفية

المستقيمة المزدوجة كنهاية على جهاز العقلة

يوضح جدول (٣) ما يلي :-

١- وجود عدد (١٢٠) معامل ارتباط منها عدد (٥٨) معامل ارتباط سالبة بنسبة

(٤٨,٣٣%) وعدد معامل ارتباط موجب بنسبة (٥١,٦٧%) .

وجود علاقة طردية بين درجة مستوى أداء الدورة الهوائية الخلفية المستقيمة المزدوجة كنهاية على جهاز العقلة وكل من زمن الطيران ، أقصى ارتفاع لمركز ثقل كتلة الجسم خلال الطيران وأقصى مد زائد للفتحين خلال الدورة الهوائية المستقيمة الأولى ، غلق الكتفين خلال الدورة الهوائية الخلفية المستقيمة الثانية ، كمية الحركة الزاوية لحظة الانطلاق ، أقصى انقباض للكتفين لحظة لمس القدمين مرتبة الهبوط وجميعها دالة إحصائية عند مستوى دلالة إحصائية (٠,٠٥) ، (٠,٠٠٠) ، (٠,٠٥) ، (٠,٠٥) ، (٠,٠٥) ، (٠,٠٥) على التوالي . ويعتبر ذلك أنه كلما زاد كل من زمن الطيران أقصى ارتفاع لمركز ثقل كتلة الجسم خلال الطيران وأقصى مد زائد للفتحين خلال الدورة الهوائية المستقيمة الأولى ، غلق الكتفين خلال الدورة الهوائية الخلفية المستقيمة الثانية ، كمية الحركة الزاوية لحظة الانطلاق ، أقصى انقباض للكتفين لحظة لمس القدمين مرتبة الهبوط وجميعها دالة إحصائية عند مستوى دلالة إحصائية (٠,٠٥) ، (٠,٠٠٠) ، (٠,٠٥) ، (٠,٠٥) ، (٠,٠٥) ، (٠,٠٥) على التوالي . ويعتبر ذلك أنه كلما زاد كل من زمن الطيران ، أقصى ارتفاع لمركز ثقل كتلة الجسم خلال الطيران ، أقصى مد زائد للفتحين خلال الدورة الهوائية الخلفية المستقيمة الثانية ، وكمية الحركة الزاوية الكلية لحظة الانطلاق ، وأقصى انقباض للكتفين لحظة لمس القدمين مرتبة الهبوط كلما زادت درجة مستوى أداء المهارة قيد الدراسة ، وتفسر هذه العلاقات الطردية بين درجة مستوى أداء المهارة قيد البحث والمتغيرات الديناميكية المحددة لمسار CG والمسافة الزاوية خلال الطيران تأكيد أهمية هذه المتغيرات في التأثير على درجة مستوى أداء المهارة قيد الدراسة .

وتتفق هذه النتائج مع نتائج التي تصول لها David,Maurice&Sung

(١٩٩٠م) (٣) .

٢- وجود علاقة عكسية بين السرعة الأفقية لمركز ثقل كتلة الجسم لحظة الانطلاق ، ارتفاع CG لحظة لمس القدم ،

٣- وجود علاقة طردية بين ارتفاع CG لحظة لمس المرتبة والسرعة الأفقية لمركز ثقل الجسم لحظة الإنطلاق وهي دالة إحصائية عند مستوى دلالة إحصائية (٠,٠٥) ، ويعتبر ذلك أنه كلما زادت سرعة CG الأفقية لحظة الانطلاق قل ارتفاع CG

حظة لمس القدمين مرتبة الهبوط ويفسر الباحثون هذه العلاقة على أساس أن السرعة الأفقية تؤدي إلى انتقال CG إلى الأمام أي تزيد من التحرك لمسافة أفقية وبذلك تؤثر على ارتفاع CG والذي يتأثر بالسرعة الرأسية .

٤- وجود علاقة عكسية بين زاوية CG لحظة الانطلاق وكل من أقصى مد للفخذين لحظة لمس القدمين مرتبة الهبوط ، وأقصى مد للركبتين لحظة لمس القدمين مرتبة الهبوط ، وسرعة CG الرأسية لحظة لمس القدمين مرتبة الهبوط . ويشير ذلك إلى أنه كلما زادت زاوية CG لحظة الانطلاق قلت قيمة أقصى مد لكل من الفخذين والركبتين وسرعة CG الرأسية لحظة لمس القدمين مرتبة الهبوط ويفسر الباحثون هذه العلاقات بأنه كلما زادت زاوية CG لحظة الانطلاق كلما أدى ذلك لارتفاع CG خلال الطيران مما يؤدي إلى زيادة العبء على العضلات العاملة على كل من مفاصل الفخذين والركبتين بفعل قوة مقاومة الجاذبية الأرضية لأسفل والتي تؤدي خلال إقلال سرعة CG الرأسية إلى حدوث فرملة تؤدي في النهاية إلى حدوث الثبات في نهاية الهبوط .

٥- علاقة طردية بين زمن الطيران ، وارتفاع CG وهي دالة إحصائية عند مستوى دلالة إحصائية (٠,٠٠٠) وأخرى عكسية بين زمن الطيران وأقصى مد زائد للفخذين خلال الدورة الهوائية الخلفية المستقيمة الأولى وهي دالة إحصائية عند مستوى دلالة إحصائية (٠,٠٥) ويعني ذلك أنه كلما زاد زمن الطيران زاد ارتفاع CG وأقل مد زائد للفخذين خلال الدورة الهوائية الخلفية المستقيمة الأولى ويفسر الباحثون هذه العلاقة بأن زيادة كل من زمن الطيران وارتفاع CG خلال الطيران وإقلال قيمة أقصى مد زائد للفخذين خلال الدورة الهوائية الخلفية المستقيمة الأولى يعطي للاعب فرصة في التحكم في الدوران للخلف حول المحور الأفقي المار بثقل كتلته - زيادة عزم القصور الذاتي - مما يؤدي إلى إتمام الدورتين المستقيمتين مع الاحتفاظ بالتوازن الديناميكي خلال هبوط اللاعب على مرتبة الهبوط .

٦- علاقة عكسية بين ارتفاع CG خلال الطيران وأقصى مد زائد للفخذين خلال الدورة الهوائية الخلفية المستقيمة الأولى وهي دالة إحصائية عند مستوى دلالة إحصائية (٠,٠٥) ويعني ذلك أنه كلما زاد ارتفاع CG خلال الطيران قلة قيمة

أقصى مد رائد للفتحين خلال الدورة الهوائية الخلفية المستقيمة الأولى ويفسر الباحثون هذه العلاقة على ضوء أن كلما زادت فرصة اللاعب في عدد الدورات مما يضطره إلى زيادة عزم القصور الذاتي حتى يتمكن من التحكم في كمية الدوران المناسب لأداء الدورتين المستقيمتين الخلفيتين .

٧- وجود علاقة طردية بين أقصى غلق للكفين خلال الدورة الهوائية الخلفية المستقيمة الأولى، أقصى انقباض للكفين لحظة لمس القدمين مرتبة الهبوط وهي دالة إحصائياً عند مستوى دلالة إحصائية (٠,٠٥) ويشير ذلك إلى أنه كلما زادت قيمة أقصى غلق للكفين خلال الدورة الهوائية الخلفية المستقيمة الأولى كلما زادت قيمة أقصى انقباض للكفين لحظة لمس القدمين مرتبة الهبوط الأولى ويفسر الباحثون هذه العلاقة على أساس أنه كلما قلت زاويتي الكفين خلال الدورة الهوائية الخلفية المستقيمة الأولى كلما كان لدى اللاعب فرصة أكبر في قبض الكفين لأقصى مدى لحظة لمس القدمين مرتبة الهبوط .

٨- وجود علاقة طردية بين أقصى مد زائد للفتحين خلال الدورة الهوائية الخلفية المستقيمة الأولى وكل من غلق الكفين خلال الدورة الهوائية الخلفية المستقيمة الثانية ، وكمية الحركة الزاوية الكلية ، وأقصى انقباض للكفين لحظة لمس القدمين مرتبة الهبوط وجميعها دالة إحصائية عند مستوى دلالة إحصائية (٠,٠١) ، (٠,٠٥) ، (٠,٠١) ويشير ذلك إلى أنه كلما زادت قيمة أقصى مد زائد للفتحين خلال الدورة الهوائية الخلفية المستقيمة الأولى زادت قيمة كل من غلق الكفين خلال الدورة الهوائية الخلفية المستقيمة الثانية ، وكمية الحركة الزاوية الكلية ، وأقصى انقباض للكفين لحظة لمس القدمين مرتبة الهبوط .

٩- وجود علاقة طردية بين وكمية الحركة الزاوية الكلية وأقصى انقباض للكفين لحظة لمس القدمين مرتبة الهبوط وجميعها دالة إحصائية عند مستوى دلالة إحصائية (٠,٠٥) ويعني ذلك أنه كلما زادت كمية الحركة الزاوية الكلية لحظة الانطلاق زادت قيمة أقصى انقباض للكفين لحظة لمس القدمين مرتبة الهبوط .

١٠- علاقة طردية بين ارتفاع CG لحظة لمس القدمين مرتبة الهبوط وأقصى مد للركبتين لحظة لمس القدمين مرتبة الهبوط وهي دالة إحصائية عند مستوى دلالة إحصائية (٠,٠٥)

ويعني ذلك أنه كلما زادت قيمة وأقصى مد للركبتين لحظة لمس القدمين مرتبة الهبوط كلما زاد ارتفاع CG لحظة لمس القدمين مرتبة الهبوط .

١١- وجود علاقة طردية بين أقصى مد زائد للفخذين لحظة لمس القدمين مرتبة الهبوط وكل من أقصى مد للركبتين لحظة لمس القدمين مرتبة الهبوط ، وسرعة CG الرأسية لحظة لمس القدمين مرتبة الهبوط وكل منهما دالة إحصائية عند مستوى دلالة إحصائية (٠,٠١)،(٠,٠١) على التوالي ويعني ذلك أنه كلما زادت قيمة أقصى مد زائد للفخذين لحظة لمس القدمين مرتبة الهبوط زادت قيمة كل من أقصى مد للركبتين لحظة لمس القدمين مرتبة الهبوط ، وسرعة CG الرأسية لحظة لمس القدمين مرتبة الهبوط .

١٢- وجود علاقة طردية بين أقصى مد للركبتين لحظة لمس القدمين مرتبة الهبوط وسرعة CG الرأسية لحظة لمس القدمين مرتبة الهبوط وهي دالة إحصائية عند مستوى دلالة إحصائية (٠,٠١) ويعني ذلك أنه كلما زادت قيمة أقصى مد للركبتين لحظة لمس القدمين مرتبة الهبوط زادت قيمة سرعة CG الرأسية لحظة لمس القدمين مرتبة الهبوط .

جدول (٤)

مساهمة كل من المتغيرات الديناميكية المحددة لمسار CG والمسافة الزاوية خلال الطيران في

درجة مستوى أداء المهارة قيد البحث

البيان	معامل الارتداد الجزئي	الخطأ المعياري	درجات الحرية	قيمة (ت) المحسوبة	نسبة المساهمة	
المقدار الثابت	١١,٧٥٠	٠,٠٠٠٠٠	٥	٠٠		
سرعة CG الأفقية	٠,١٠٦	٠,٠٠٠٠		٠,٠١٩	٠٠	
سرعة CG الرأسية	٠,٥٥١	٠,٠٠٠٠		٠,٤٠٢	٠٠	
زاوية لحظة الانطلاق CG	٠,٠٠٠٠١	٠,٠٠٠٠		٠,٢٣٧	٠٠	
ارتفاع لحظة الانطلاق CG	-٣,٢٢٥	٠,٠٠٠٠		٠,٢٢١	٠٠	
زمن الطيران	٢,٩٩٨	٠,٠٠٠٠		٠,١٢١	٠٠	
						٠١,٠٠٠

يبين جدول (٤) أن أكثر المتغيرات الديناميكية المحددة لمسار CG والمسافة الزاوية خلال الطيران مساهمة في درجة مستوى أداء الدورة الهوائية الخلفية المزدوجة المستقيمة كنهاية على جهاز

العقلة كانت سرعة CG الرأسية لحظة الانطلاق حيث ساهمت بنسبة ٤٠,٢% يليها زاوية CG لحظة الانطلاق ساهمت بنسبة ٢٣,٧% يليها ارتفاع CG لحظة الانطلاق ساهمت بنسبة ٢٢,١% يليها كل من زمن الطيران ، سرعة CG الأفقية لحظة الانطلاق بنسبة ١٢,١% ، ١,٩% على الترتيب . والجدير بالذكر أن هذه المتغيرات الديناميكية ساهمت مجتمعة في درجة مستوى أداء المهارة قيد الدراسة ١٠٠% وهي نسبة مرتفعة توضح أهمية المتغيرات الديناميكية في التأثير على أداء المهارة قيد البحث . وبذلك تصح المعادلة النسبية للتنبؤ بدرجة مستوى أداء المهارة قيد البحث بدلالة كل من المتغيرات الديناميكية المساهمة فيه كما يلي :

$$\text{درجة مستوى أداء المهارة قيد البحث} = ١١,٧٥ + ٠,١٠٦ \times (\text{سرعة CG الأفقية لحظة الانطلاق}) + ٠,٥٥٦ \times (\text{سرعة CG الرأسية لحظة الانطلاق}) + ٠,٠٠١ \times (\text{زمن الطيران})$$

جدول (٥)

مساهمة كل من كمية الحركة الزاوية لأجزاء الجسم في كمية الحركة

الزاوية الكلية خلال لحظة الانطلاق

البيان	معامل الانحدار الجزئي	انحطاط المعياري	درجات الحرية	قيمة (ت) المحسوبة	نسبة المساهمة
المقدار الثابت	-٠,١١١	٠,٢٢٠	٣	-٠,٥٠٧	
كمية الحركة الزاوية للرجلين	٠,٤٢١	٠,٠٣٠		١,٣٦١	٠,٩٧٧
كمية الحركة الزاوية للجذع مع الرأس	-٠,٣٩٣	٠,١٣٩		٢,٢٣٤-	٠,٠١٣
كمية الحركة الزاوية للذراعين	٦,١٧٥	٠,٢٠٧		٢٩,٨٦٧	٠,٠٠٩
					٠,٩٩٩

يوضح الجدول (٥) أن كمية الحركة الزاوية للرجلين أكثر الأجزاء مساهمة في كمية الحركة الزاوية الكلية لحظة الانطلاق حيث ساهمت منفردة بنسبة (٩,٧٧%) من كمية الحركة الزاوية الكلية ، يليها الحركة الزاوية للجذع مع الرأس بنسبة (١,٣%) يليها نسبة مساهمة كمية الحركة الزاوية للذراعين (٠,٩%) والجدير بالذكر أن الثلاث أجزاء ساهمت في كمية الحركة الكلية لحظة الانطلاق بنسبة (٩٩,٩%)

ينود الباحثون إلى أهمية كمية الحركة الزاوية للرجلين لحظة الانطلاق

الاستنتاجات : The Conclusion

في حدود عينة البحث و نتائجها و تفسيرها ، أمكن التوصل إلى الاستنتاجات التالية :

أولاً : وصف الدورة الهوائية الخلفية المستقيمة المزروجة كنهاية على جهاز العقلة :

تعتبر الدورة الهوائية الخلفية المستقيمة المزروجة كنهاية على جهاز العقلة من الحركات المركبة من الحركة الانتقالية الدورانية حيث تبدأ مسبوقة بالدورة الهوائية الأمامية العظمى ، وفيها ينطلق CG عند زاوية (٣٢١) حركة انتقالية وخلال تواجده حراً في الهواء يدور الجسم دورتين مستقيمتين حول المحور الأفقي المار بمركز ثقل كتلة الجسم عن طريق استغلال العلاقة العكسية بين عزم القصور الذاتي للجسم وسرعته الزاوية والتي تمكن اللاعب من السيطرة على جسمه خلال دورانه والوصول لوضع مناسب للهبوط بالقدمين على مرتبة الهبوط هبوطاً راسخاً .

ثانياً : الخصائص البيوديناميكية لمرحلة الانطلاق :

- ١- تفوق مقدار سرعة CG في اتجاه المركبة الرأسية على مناظرتها في اتجاه المركبة الأفقية لحظة الانطلاق حيث بلغ متوسط كل منهما (٣,٦٣٥ م/ث) ، (١٠,٧٧٥ م/ث) على التوالي .
- ٢- كبر متوسط زاوية CG لحظة الانطلاق حيث بلغ مقدار (٣٢١) .
- ٣- كبر متوسط الارتفاع CG لحظة الانطلاق حيث بلغ مقدار (٢,٥٥٠ متر) .
- ٤- كبر متوسط كمية الحركة الزاوية للجسم الكلية لحظة الانطلاق حيث بلغ مقدار (٥٢,٧٢٠ كجم.م^٢/ث) .
- ٥- كبر متوسط كمية الحركة الزاوية للرجلين لحظة الانطلاق حيث بلغ المقدار (٣٤,٤٠ كجم.م^٢/ث) .
- ٦- صغر متوسط كمية الحركة الزاوية لكل من الجذع والرأس ، الذراعين حيث بلغ كل منها على التوالي (٩,٦٧٧ كجم.م^٢/ث) ، (٨,٩٦٧٠ كجم.م^٢/ث) .
- ٧- يتناسب متوسط درجة مستوى أداء الدورة الهوائية الخلفية المستقيمة المزروجة كنهاية على جهاز العقلة تناسباً طردياً مع متوسط كمية الحركة الزاوية الكلية لحظة الانطلاق .
- ٨- أهم المتغيرات البيوديناميكية مساهمة في كمية الحركة الزاوية الكلية خلال لحظة الانطلاق كانت بالترتيب التنازلي كما يلي :

- أ - كمية الحركة الزاوية للرجلين بنسبة (٩٧,٧%) .
ب - كمية الحركة الزاوية للذراع والرأس بنسبة (١,٣%) .
ج - كمية الحركة الزاوية للذراعين بنسبة (٥٠,٩%) .

ثالثاً : الخصائص البيوديناميكية لمرحلة الطيران :

- ١- كبر متوسط زمن طيران CG حيث بلغ مقدار (١,٣٣ ثانية) .
٢- كبر متوسط ارتفاع CG خلال مرحلة الطيران حيث بلغ مقدار (٣,٥٥ متر) .
٣- تميز شكل جسم اللاعب خلال الدورة الهوائية المستقيمة الأولى بمتوسط كل من زاويتي الكتفين والفقذيين والركبتين مقداره (٥,٩) ، (١٩٣,٧٠) ، (١٧٨,٧٠) على التوالي .
٤- تميز شكل جسم اللاعب خلال $\frac{3}{4}$ الدورة الهوائية الخلفية المستقيمة الثانية بمتوسط كل من زاويتي الكتفين والفقذيين والركبتين مقداره (٦٧,٨٣) ، (١٨٢,٧) ، (١٧٩,٧) على التوالي .
٥- تميز شكل جسم اللاعب خلال الربع الأخير من الدورة الهوائية الخلفية المستقيمة بمتوسط كل من زاويتي الكتفين والفقذيين والركبتين مقداره (٩١,٩٣) ، (١٧٤,٣٣) ، (١٨٠,٨٣) على التوالي .
٦- يتناسب متوسط مستوى أداء الدورة الهوائية الخلفية المستقيمة المزدوجة كنهاية على جهاز العقلة تناسباً طردياً مع كل من زمن الطيران ، وارتفاع CG خلال الطيران ، وشكل الجسم محدداً زاويتي الفقذيين خلال الدورة الهوائية الخلفية المستقيمة وزاويتي الكتفين خلال الدورة الهوائية الخلفية المستقيمة الثانية تناسباً طردياً .

رابعاً : الخصائص البيوديناميكية لمرحلة الهبوط :

- ١- كبر متوسط ارتفاع CG لحظة لمس القدمين مرتبة الهبوط حيث بلغ مقداره (١,١٣ متر) .
٢- تميز شكل جسم اللاعب لحظة لمس القدمين مرتبة الهبوط والمحدد بزواويتي كل من الكتفين والفقذيين والركبتين بزوايا كل منها (١٦٣,٨٣) ، (١٣٠,٨٣) ، (٨٩,٣٣) على التوالي .

- ٣- تفوق قيمة سرعة CG في اتجاه المركبة الرأسية على مناظرها في اتجاه المركبة الأفقية لحظة لمس القدمين مرتبة الهبوط حيث بلغ متوسط كل منهما (٥٣,٤ م/ث) ، (٨٨٧,٨ م/ث) على التوالي.
- ٤- تفوق قيمة القوة المؤثرة على CG في اتجاه المركبة الرأسية على مناظرها في اتجاه المركبة الأفقية لحظة لمس القدمين مرتبة الهبوط حيث بلغ متوسط كل منهما (١٠٥٥,٨ نيوتن) ، (٣٠٧,٥ نيوتن) على التوالي.
- ٥- يتناسب درجة مستوى أداء الدورة الهوائية الخلفية المستقيمة المزدوجة كنهاية على جهاز العقلة بشكل الجسم لحظة لمس القدمين مرتبة الهبوط محددًا بزوايا الكفين تناسباً طردياً .

خامساً : المتغيرات الديناميكية المساهمة في درجة أداء المهارة قيد البحث :

- ١- انحصرت المتغيرات البيوديناميكية الأكثر مساهمة في درجة مستوى أداء الدورة الهوائية الخلفية المستقيمة المزدوجة كنهاية على جهاز العقلة تنازلياً كما يلي :
- سرعة CG الرأسية لحظة الانطلاق بنسبة (٤٠,٢%)
 - زاوية CG الرأسية لحظة الانطلاق بنسبة (٢٣,٧%)
 - ارتفاع CG الرأسية لحظة الانطلاق بنسبة (٢٢,١%)
 - زمن الطيران بنسبة (١٢,١%)
 - سرعة CG في اتجاه المركبة الأفقية بنسبة (١,٩%)
- وجميعها ساهمت بنسبة (١٠٠%) .

- ٢- كانت المعدلة التنبؤية للتنبؤ بدرجة مستوى أداء الدورة الهوائية الخلفية المستقيمة المزدوجة كنهاية على جهاز العقلة بدلالة المتغيرات البيوديناميكية مساهمة فيها كما يلي :
- درجة مستوى أداء المهارة قيد البحث = ١١,٧٥ + ٠,١٠٦ (سرعة CG الأفقية لحظة الانطلاق) + ٠,٥٥١ (سرعة CG الرأسية لحظة الانطلاق) + (ارتفاع CG لحظة الانطلاق) - ٠,٠٠١ - ٣,٢٢٥ + ٢,٩٩٨ (زمن الطيران) .

التوصيات : The Recommendations

- في حدود نتائج البحث واستنتاجاته يوصى الباحث بما يلي :
- عند تعليم مهارة الدورة الهوائية الخلفية المستقيمة المزوجة كنهاية على جهاز العقلة يجب مراعاة الخصائص البيوديناميكية لكل من مراحل الانطلاق ، والطيران والهبوط التالية :
١. التركيز على علة تفوق سرعة CG في اتجاه المركبة الرأسية على منيلتها في اتجاه المركبة الأفقية خلال مرحلة الانطلاق .
 ٢. التركيز على ارتفاع CG لحظة الانطلاق .
 ٣. التركيز على انطلاق CG بزاوية (٣٢١) من عارضة العقلة .
 ٤. التركيز على زيادة كمية الحركة الزاوية الكلية إلى أن تصل مقدار (٥٢,٧٥ كجم.م^٢/ث) لحظة الانطلاق .
 ٥. التركيز على زيادة كمية الحركة الزاوية للرجلين تصل إلى (٣٤,٠٤٣٠ كجم.م^٢/ث) لإقلال كل من كمية الحركة للجزع والرأس والذراعين لتصل كل منها إلى (٩,٦٦٧٣٤ كجم.م^٢/ث) ، (٨,٩٦٦٧ كجم.م^٢/ث) على التوالي لحظة الانطلاق .
 ٦. زيادة زمن الطيران إلى (١,٣٣ ثانية) .
 ٧. زيادة ارتفاع CG خلال الطيران حتى يصل إلى (٣,٥٥ متر) .
 ٨. إجراء البحوث المماثلة على أجهزة الجماز المختلفة للآنسات والرجال .
 ٩. مراعاة خلال الدورة الهوائية المستقيمة الخلفية الأولى أن تكون زاويتي كل من الكتفين (٥,٩) ، الركبتين (١٧٨,٧) ، الفخذين (١٩٣,٧٠) ، وخلال ¼ الدورة الثانية كل من الكتفين (٦٧,٨٣) ، الفخذين (١٨٢,٧) ، الركبتين (١٧٩,٧) وتحولها إلى (٩١,٩٣) ، (١٧٤,٤٣) ، (١٨٠,٨٣) على التوالي في الربع الأخير من الدورة الهوائية الخلفية المستقيمة الثانية .
 ١٠. مراعاة العلاقات الارتباطية بين المتغيرات الديناميكية المحددة لمسار CG ومسافة الزاوية في الطيران ودرجة مستوى أداء المهارة قيد البحث .
 ١١. التركيز على المتغيرات الديناميكية الأكثر مساهمة في درجة أداء المهارة قيد البحث التي توصلت لها هذه الدراسة الحالية .

- ١٢ . استخدام المعادلة النسبوية للتنبؤ بدرجة مستوى أداء المهارة قيد البحث بدلالة المتغيرات الديناميكية المساهمة فيها .
- ١٣ . تنمية مرونة الفخذين والعمود الفقري وإطالة العضلات خلف الفخذين ومرونة مفصلي الكتفين .
- ١٤ . تنمية قوة العضلات العاملة على كل من مفاصل الكتفين والفخذين والركبتين .

قائمة المراجع

أولاً : المراجع العربية :

- ١ عادل عبد البصير على : (٢٠٠٠م)، التحليل البيوديناميكي لحركات جسم الإنسان (أسسه وتطبيقاته) ، المكتبة المتحدة سنتر ، بورفؤاد .

ثانياً : المراجع الأجنبية :

- 2 Caluser, C.E., : (1969), Weight volume and
McConville,, J.T. and center of mass of the human
Young ,J.W. body (Report No. AMRL-TR-
69-70) Dayson Ch: Wright
Patterson Air Bas Aerospace
Med. Res. Lab.
- 3 David G. Kerwin, : (1990), Body configuration in
Maurice, R., Yeadon * multiple somersault high bar
Sung. Cheol Lee. dismounts. In: Biomechanics
research of at the Olympic
games; 1984-1994. Human
Kinetics Canada, PP.(303-310).
- 4 Federation of : (2001), Code of points. FIG,
international PP. (16-30).
gymnastics

- 5 Gert- Peter : (1994), Approach to a biomechanical profile of dismounts and release-regrasp skills of the high bar. In: Bruggemann, Phillip, J., Cheetham, Yilmaz Alp. & Diamantis Arampatzis : Biomechanics research of the Olympic games: 1984-1994, Human Kinetics, Canada, PP. 524-533.
- 6 Hay, J.G., Wilson, B.D., Dapena, J.T., Woodward, G.G. : (1977): A computational technique to determine the angular momentum of a human body. Journal of Biomechanics, 10, 269-277.
- 7 Hay, J.G. & Reid, J.G : (1988), Anatomy, mechanics and human motion. Englewood Cliffs, NJ: Prentice Hall.
- 8 Kaneko, A. : (1976), Olympic gymnastics. New York: Sterling, Loken C.N., Willoughby, J.R. (1977), Complete book of gymnastics. Englewood Cliffs, NJ: Prentice Hall.
- 9 Loken, C.N. & Willoughby, J.R. : (1977), Complete book of gymnastics. Englewood Cliffs, NJ: Prentice- Hall.

- 10 Susan, J. Hall : (1999), Basic biomechanics, Third edition, McGraw Hill Book, Co, PP. (53, 54).

- 11 Whilestt, C.E. : (1964), Some dynamic response characteristics of weightless man (AMRL Tec. Reb. 63-68) Dayson, OH: Wright-Patterson Air Force Base.

- 12 Yosaki Takei, Hiroshi : (1992), Techniques used by elite gymnasts in the 1992 Olympic compulsory dismount from the horizontal bar. In: Biomechanics research at the Olympic games: 1988-1994, Human Kinetics, Canada, PP(427-451).

